

УДК 535.373+535.5

## ПОЛЯРИЗАЦИЯ ФОСФОРесЦЕНЦИИ ХЛОРОФИЛЛОПОДОБНЫХ МОЛЕКУЛ

### III. МЕТАЛЛОКОМПЛЕКСЫ ОКТАЭТИЛХЛОРИНА И ОКТАЭТИЛ- ИЗОБАКТЕРИОХЛОРИНА<sup>1</sup>

*A. T. Градюшко, К. Н. Соловьев и М. П. Цвирко*

Исследованы поляризационные спектры флуоресценции и фосфоресценции, а также зависимость степени поляризации от длины волны испускания для металлокомплексов октаэтилхлорина ( $Mg$ ,  $Cu$ ,  $Zn$ ,  $Pd$ ) и октаэтил-изобактериохлорина ( $Zn$ ,  $Pd$ ). Установлено, что нижнее триплетное состояние  $T_1$  имеет ту же симметрию координатной волновой функции, что и состояние  $S_1$ , а именно  $B_1$  (группа симметрии  $C_{2v}$ ). Определена симметрия синглетных состояний, примешивающихся к состоянию  $T_1$ . Показано, что из трех подуровней триплетного состояния  $T_1$  исследованных комплексов с  $Zn$  и  $Pd$  только один ( $\tau_z$ )dezактивируется с испусканием квантов света. На основании поляризационных измерений дана интерпретация электронно-колебательных спектров поглощения в видимой и ближней УФ областях.

### Введение

Основным фактором, определяющим отличие спектров хлорофиллов от спектров металлопорфиринов, является наличие в макроцикле гидрированных пиррольных колец [2]. Исследование влияния гидрирования пиррольных колец на спектрально-люминесцентные свойства существенно

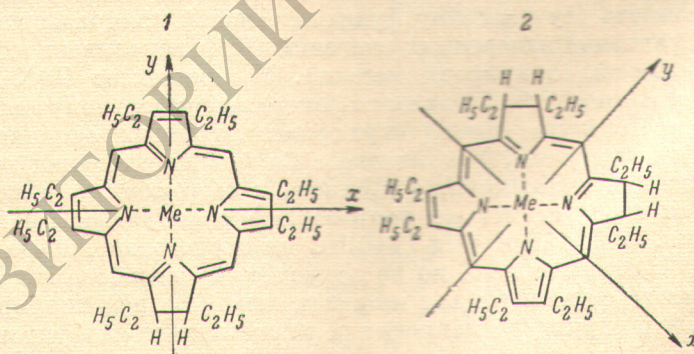


Рис. 1. Структурные формулы металлокомплексов октаэтилхлорина (1) и октаэтил-изобактериохлорина (2).

для понимания механизма фотофизических процессов в молекулах хлорофилла и бактериохлорофилла и их электронной структуры. В настоящей работе изучена поляризованный люминесценция комплексов 7,8-дигидрооктаэтилпорфина (октаэтилхлорина — ОЭХ) и 5,6,7,8-тетрагидрооктаэтилпорфина (октаэтил-изобактериохлорина, или терагидрооктаэтилпорфина с соседним расположением гидрированных пиррольных колец — ТГОЭПС) с магнием, цинком, медью и палладием. Структурные формулы исследованных соединений представлены на рис. 1.

<sup>1</sup> Часть II см. [1].

Тщательное исследование поляризационных спектров флуоресценции и фосфоресценции, а также зависимости степени поляризации люминесценции от длины волны испускания позволило дать интерпретацию электронных спектров исследованных соединений и установить симметрию синглетных состояний, примешивающихся к триплетному в результате спин-орбитального взаимодействия.

### Методика эксперимента

Свободные основания ОЭХ и ТГОЭПС получали восстановлением октаэтилпорфина по [3], разделяли и очищали хроматографией на  $\text{Al}_2\text{O}_3$  а, затем на  $\text{MgO}$ . Металлокомплексы ОЭХ и ТГОЭПС получали по аналогии с методом Адлера [4] в диметилформамиде с  $\text{ZnCl}_2$ ,  $\text{PdCl}_2$  и  $\text{Cu}(\text{NH}_3)_2 \cdot (\text{CH}_3\text{COO})_2$ . Очистка производилась хроматографией на  $\text{MgO}$ .

Для поляризационных измерений при 77 К в качестве растворителей использовались петролейный эфир (фракция 70—100° С) или смесь диэтиловый эфир—петролейный эфир—изопропиловый спирт в соотношении 5 : 5 : 2 (ЭПИП).

Методика спектрально-поляризационных измерений подробно описана в [1].

### Результаты

В соответствии с общими закономерностями фотофизики хлорофиллоподобных молекул комплексы ОЭХ и ТГОЭПС с Mg и Zn обладают флуоресценцией и фосфоресценцией, а комплексы с Cu и Pd — только фосфоресценцией (точнее у Pd-порфиринов наблюдается очень слабая флуоресценция [5]). Соответственно для флуоресцирующих соединений были измерены поляризационные характеристики как флуоресценции, так и фосфоресценции, а для нефлуоресцирующих — только фосфоресценции. Все измерения выполнены при 77 К. Результаты измерений представлены на рис. 2—4.

Величину степени поляризации фосфоресценции, измеренную при регистрации 0—0-полосы фосфоресценции и возбуждении в 0—0-полосе 1-го синглет-синглетного электронного перехода, мы обозначаем  $P_{00}^{\text{фосф.}}$ . Будем называть эту величину фундаментальной поляризацией фосфоресценции. Сравнение измеренных значений  $P_{00}^{\text{фосф.}}$  показывает их существенную зависимость от природы металла. У комплексов ОЭХ и ТГОЭПС с Zn и Pd величина  $P_{00}^{\text{фосф.}}$  близка к теоретически предельному значению —1/3 для случая взаимно перпендикулярных линейных осцилляторов поглощения и испускания. У комплексов Cu фундаментальная поляризация фосфоресценции положительна и близка к теоретическому значению 1/2 для случая совпадающих по направлению осцилляторов поглощения и испускания. У Mg-ОЭХ (Mg-ТГОЭПС не исследован из-за нестабильности)  $P_{00}^{\text{фосф.}}$  отрицательна, но не достигает предельного значения —1/3. Сопоставление с данными для металлокомплексов родопорфирина [6] показывает, что структура макроцикла также влияет на фундаментальную

Положение 0—0-полос в спектрах поглощения и фосфоресценции и значения фундаментальной поляризации фосфоресценции металлокомплексов ОЭХ и ТГОЭПС

Вещество	$\lambda_{Q_x}$ , нм	$\lambda_{Q_y}$ , нм	$\lambda_{B_y}$ , нм	$\lambda_{B_x}$ , нм	$\chi_{00}^{\text{фосф.}}$	$\chi_{00}^{\text{фосф.}}, \%$
Cu-ОЭХ	612	528	398	385	825	+43.5
Zn-ОЭХ	613	544	407	400	822	-30
Pd-ОЭХ	597	512	395	380	785	-31.5
Cu-ТГОЭПС	591	530	392	380	—	—
Zn-ТГОЭПС	596	530	400	388	801	-30
Pd-ТГОЭПС	577	510	387	377	770	-30

поляризацию фосфоресценции. Например, у Zn-родопорфирина  $P_{00}^{\text{фосф}}$  близка к нулю в отличие от цинковых комплексов ОЭХ и ТГОЭПС. В таблице приведены значения  $P_{00}^{\text{фосф}}$  для всех исследованных соединений.

Спектры поглощения металлохлоринов имеют одну сравнительно интенсивную полосу в красной области спектра, слабые полосы в желто-зеленой области и интенсивную полосу Соре на границе видимой и УФ областей. Такой тип спектра характерен и для хлорофилла. Спектр флуоресценции металлохлоринов приблизительно зеркально симметричен соответствующей области спектра поглощения (рис. 2,3).

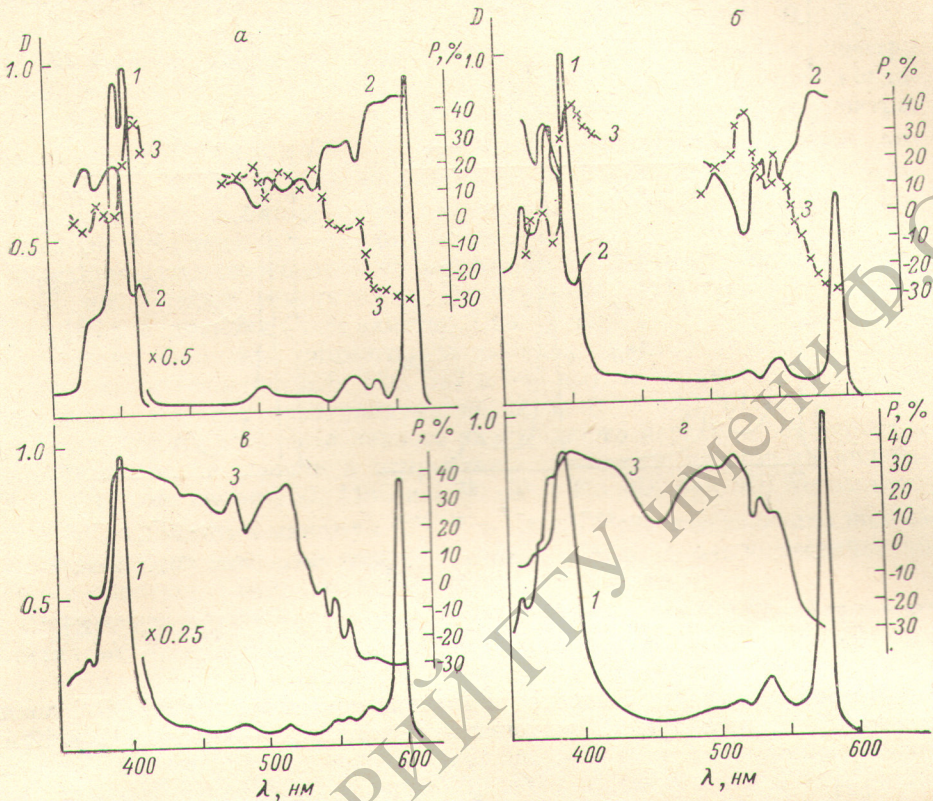


Рис. 2. Спектры поглощения (1) и зависимости  $P_{\text{фл.}}(\lambda_{\text{восб.}})$  (2) и  $P_{\text{фосф.}}(\lambda_{\text{восб.}})$  (3).  
а — Zn-октаэтилхлорин, б — Zn-октаэтил-изобактериохлорин, в — Pd-октаэтилхлорин, г — Pd-изобактериооктаэтилхлорин; а, в — в смеси петролейный эфир, дистилловый эфир, изопропиловый спирт 5 : 5 : 2, б, г — в петролейном эфире;  $T = 77 \text{ К}$ .

Поляризационный спектр флуоресценции Zn-ОЭХ (рис. 2, а) свидетельствует о наличии в видимой области спектра двух электронных переходов (0—0-полосы при 613 и 544 нм и 77 К) и в области полосы Соре — тоже двух переходов (при 407 и 400 нм). Изменения степени поляризации в области первого электронного перехода (как в поглощении, так и в испускании) аналогичны наблюдаемым у безметаллического ОЭХ [1] и объясняются активностью неполносимметричных колебаний. То, что в минимуме поляризационного спектра при 544 нм не достигаются отрицательные значения  $P_{\text{фл.}}$ , можно объяснить наложением вибронных переходов в 1-е возбужденное состояние, поляризованных параллельно соответствующему чисто электронному переходу. Последовательность электронных уровней Zn-ОЭХ в символах Плэтта [7] можно записать так:  $O_x, O_y, B_y, B_x$ .

Поляризационный спектр фосфоресценции Zn-ОЭХ, как видно из рис. 2, а, имеет ход, обратный поляризационному спектру флуоресценции. Это означает, что переход  $T_1 \rightarrow S_0$  можно моделировать линейным осциллятором, поляризованным в плоскости молекулы перпендикулярно моменту перехода  $S_1 \rightarrow S_0$ . Такой же вывод можно сделать и в случае Pd-ОЭХ,

у которого поляризационный спектр фосфоресценции (рис. 2, в) аналогичен полученному для Zn-OЭХ.

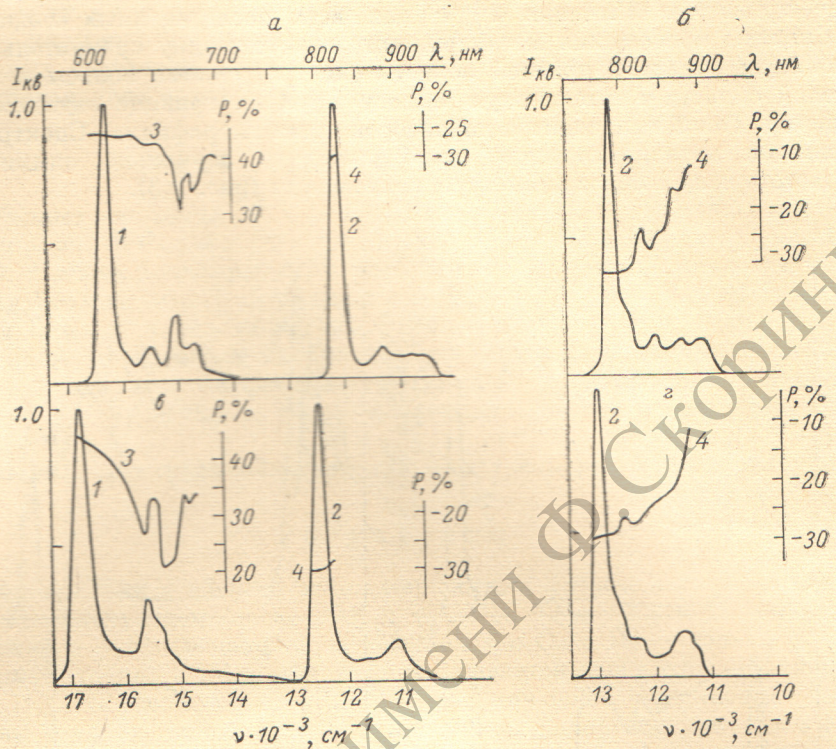


Рис. 3. Спектры флуоресценции (1), фосфоресценции (2) и зависимости  $P_{\text{Фл.}}(\lambda_{\text{всп.}})$  (3) и  $P_{\text{Фосф.}}(\lambda_{\text{всп.}})$  (4).

а — Zn-октаэтилхлорин, б — Pd-октаэтилхлорин, в — Zn-октаэтил-изобактериохлорин, г — Pd-октаэтил-изобактериохлорин, а, б — в смеси петролейный эфир, дистилльный эфир, изопропиловый спирт 5 : 5 : 2, в, г — в петролейном эфире;  $T=77$  К.

Второй электронный переход в спектре поглощения у Pd-OЭХ проявляется отчетливо: при возбуждении в области его 0—0-полосы ( $\lambda=512$  нм)

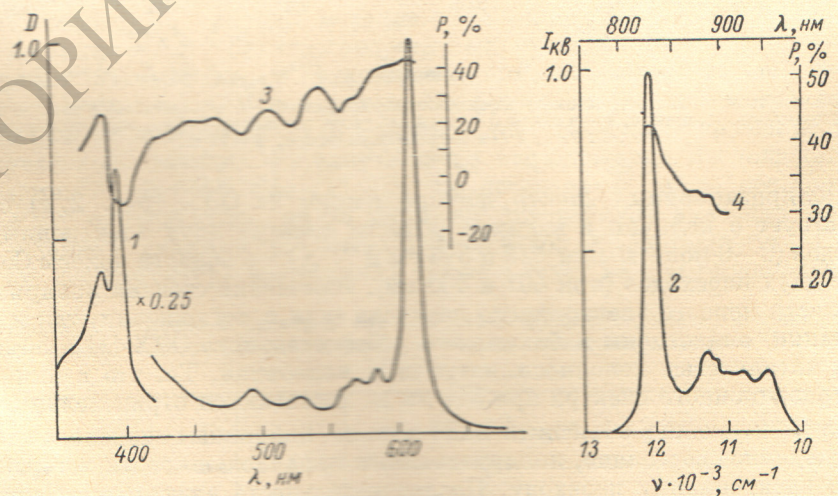


Рис. 4. Спектр поглощения (1), фосфоресценции (2) и зависимости  $P_{\text{Фосф.}}(\lambda_{\text{вспб.}})$  (3) и  $P_{\text{Фосф.}}(\lambda_{\text{всп.}})$  (4) Cu-октаэтилхлорина в петролейном эфире при 77 К.

$P_{\text{Фосф.}}$  достигает значения +35%, т. е. не только меняет знак по отношению к первому электронному переходу, но и близка к предельному значению

чению  $+1/2$ . В области вибронной полосы второго электронного перехода у Pd-ОЭХ более заметны, чем у Zn-ОЭХ, «осцилляции» поляризационного спектра, обусловленные проявлением неполносимметричных колебаний. В области полосы Соре также наблюдаются два электронных перехода, причем интенсивность перехода  $S_0 \rightarrow S_4$  ( $G \rightarrow B_x$ ) понижена.

Из значения фундаментальной поляризации фосфоресценции Cu-ОЭХ сразу следует, что осциллятор фосфоресценции параллелен осциллятору флуоресценции. Не удивительно поэтому, что поляризационный спектр фосфоресценции Cu-ОЭХ аналогичен поляризационному спектру Zn-ОЭХ и может быть интерпретирован подобным образом. Последовательность уровней у Cu-ОЭХ и Pd-ОЭХ та же, что и у Zn-ОЭХ:  $Q_x, Q_y, B_y, B_x$ .

Поляризационный спектр фосфоресценции Mg-ОЭХ подобен спектру Zn-ОЭХ, но в соответствии со значением  $P_{00}^{\text{фосф.}} = -20\%$  он несколько сглажен. Полосам  $Q_y, B_y$  соответствуют максимумы поляризационного спектра. Это означает, что переход  $T_1 \rightarrow S_0$  может быть моделирован частично анизотропным осциллятором с компонентами  $M_y > M_x, M_z \approx 0$ , т. е. неидеальным плоским осциллятором, расположенным в плоскости молекулы.

Спектры поглощения металлокомплексов ТГОЭПС подобны спектрам металлохлоринов и отличаются коротковолновым сдвигом видимых полос на  $\sim 20$  нм. Следует отметить, что спектры свободных оснований ОЭХ и ТГОЭПС различаются более заметно. Спектр флуоресценции Zn-ТГОЭПС приближенно зеркально симметричен длинноволновому участку спектра поглощения (полосы при 596, 570, 547 и 543 нм), который следовательно, принадлежит первому электронному переходу ( $G \rightarrow Q_x$ ). Изменения степени поляризации в области первого электронного перехода объясняются проявлением в поглощении и испускании неполносимметричных колебаний с частотами около 750, 1150 и  $1500 \text{ см}^{-1}$ . Полосе при 510 нм соответствует более заметный минимум ( $P_{\text{флор.}}^{\text{мин.}} = -10\%$ ), соответствующая полоса в спектре испускания отсутствует и поэтому естественно отнести ее ко второму электронному переходу  $G \rightarrow Q_y$ .

В области полосы Соре поляризационный спектр отчетливо показывает наличие двух электронных переходов (0—0-полосы при 400 и 388 нм), полосы при 368 и 350 нм, по-видимому, являются колебательными «спутниками» четвертого электронного перехода ( $\Delta\nu \sim 1400 \text{ см}^{-1}$ , полносимметричное колебание, проявляющееся по механизму Франка—Кондона). Аналогичные вибронные полосы наблюдаются и у металлокомплексов ОЭХ. Последовательность уровней Zn-ТГОЭПС та же, что и у металлохлоринов:  $Q_x, Q_y, B_y, B_x$ . Следует, однако, отметить, что поляризационные данные не исключают возможности того, что сравнительно интенсивная полоса Zn-ТГОЭПС при 368 нм принадлежит отдельному электронному переходу (аналогичная полоса имеется также в спектрах комплексов ТГОЭП с медью и палладием).

Поляризационный спектр фосфоресценции Zn-ТГОЭПС антибатен поляризационному спектру флуоресценции. При возбуждении в полосах, поляризованных по  $Y$ , степень поляризации фосфоресценции положительна, причем при возбуждении в 0—0-полосе  $B_y$  практически достигается теоретически предельное значение  $1/2$  для совпадающих по направлению линейных осцилляторов поглощения и испускания. Следовательно, осциллятор фосфоресценции ориентирован по оси  $Y$ .

Поляризационный спектр фосфоресценции Pd-ТГОЭПС полностью аналогичен спектру цинкового комплекса и интерпретируется таким же образом. Последовательность возбужденных синглетных уровней у обоих комплексов одинакова.

#### Обсуждение

Начнем обсуждение с поляризационных спектров флуоресценции и интерпретации спектров поглощения гидрированных металлопорфиринов. Полученные результаты свидетельствуют о том, что в видимой и ближней УФ областях (до 350 нм) в спектрах поглощения всех исследованных

соединений проявляются четыре электронных перехода. Спектроскопическое проявление гидрирования одного или двух соседних пиррольных колец можно рассматривать как возмущение порфиновой сопряженной системы симметрии  $D_{4h}$ , приводящее к снятию двукратного вырождения двух возбужденных электронных состояний ( $Q$  и  $B$ ).

Величина расщепления  $Q$ -состояний составляет  $2100 \div 2800 \text{ см}^{-1}$  и зависит как от природы металла, так и от структуры макроцикла. Расщепление  $B$ -состояний значительно меньше — от 400 до  $1000 \text{ см}^{-1}$ . Это указывает на то, что определенную роль в формировании электронной структуры металлокомплексов хлоринов и изобактериохлоринов играет структура 18-членного полиена (аналогично случаю свободных оснований порфиринов [8]).

Ранее для металлокомплексов мезо-тетрафенилхлорина было показано [9], что расщепление  $Q$ -состояний имеет величину всего около  $700 \text{ см}^{-1}$ , т. е. значительно меньше, чем в случае ОЭХ. Это можно объяснить тем, что уровень  $Q_y$  при мезо-замещении понижается сильнее, чем уровень  $Q_x$ . Отметим, что последовательность возбужденных синглетных уровней, наблюдаемая у комплексов тетрафенилхлорина —  $Q_x, Q_y, B_x, B_y$ , — отличается от исследованных металлохлоринов. Следовательно, уровень  $B_x$  понижается при мезо-замещении сильнее, чем уровень  $B_y$ , что, по-видимому, обусловлено повышением энергии заполненной орбитали типа  $a_{2u}$ . Следует отметить, что в работе [10] описан поляризационный спектр флуоресценции никелевого комплекса хлорина- $e_6$ , который лишь качественно согласуется с нашими спектрами металлокомплексов ОЭХ и хлорина- $e_6$ . Вместе с тем известно, что никелевые комплексы порфиринов не флуоресцируют [2] и поэтому не ясно, какому веществу принадлежит поляризационный спектр, описанный в [10].

Представляет интерес сравнить экспериментальные данные о положении  $Q$ - и  $B$ -уровней с результатами квантовохимических расчетов. В работе [11] методом ППП с ограниченным числом взаимодействующих конфигураций (четырехорбитальная модель) для слабых металлокомплексов (атом металла не учитывался как  $\pi$ -центр) предсказывается расщепление  $Q$ -полос на  $1800 \text{ см}^{-1}$  в случае хлорина и на  $2050 \text{ см}^{-1}$  в случае изобактериохлорина (в разумном согласии с экспериментом) и слабое расщепление  $B$ -полос ( $400$  и  $70 \text{ см}^{-1}$  соответственно). Последовательность  $B$ -уровней не соответствует эксперименту, но, согласно новым данным [12], при учете большего числа конфигураций уровни  $B_x$  и  $B_y$  металлохлорина меняются местами и получается последовательность  $Q_x, Q_y, B_y, B_x$  (выбор осей, как на рис. 1).

В противоположность этому в работе [10] при ином выборе параметров расчета в методе ППП и большом числе конфигураций для металлохлоринов получена последовательность  $Q_x, Q_y, B_x, B_y$ , причем с уровнями  $B$  соседствуют еще два уровня, т. е. полосе Соре приписываются четыре электронных перехода. В наших экспериментах два дополнительных перехода не обнаруживаются.

В случае ТГПС расширение числа конфигураций также увеличивает расщепление  $B$ -полосы [12], но, насколько можно судить по тексту [12], последовательность уровней остается  $Q_x, Q_y, B_x, B_y$ , что не соответствует эксперименту.

Современные методы квантовой химии не могут предсказать даже относительное расположение уровней с точностью  $100 \text{ см}^{-1}$ , и поэтому такие вопросы, как вопрос о последовательности уровней в полосе Соре могут быть решены только экспериментально. Вместе с тем теория [11, 12] правильно предсказывает соотношение интенсивностей  $Q$ -полос для хлорина и их взаимное расположение (хуже для ТГПС — интенсивность второго  $Q$ -перехода завышается), и поэтому можно считать, что поляризация  $Q$ -переходов предсказывается правильно, что и использовано при выборе осей на рис. 1.

Сопряженная система молекул металлокомплексов ОЭП и ТГОЭПС имеет симметрию  $C_{2v}$  и  $\pi$ -электронные состояния могут быть классифицированы по неприводимым представлениям этой группы. Если абсолютная ориентация моментов переходов определена правильно, то нижнее синглетное состояние  ${}^1Q_x$  и состояние  ${}^1B_x$  принадлежат к типу симметрии  $B_1$ , состояния  ${}^1Q_y$  и  ${}^1B_y$  — к типу симметрии  $A_1$ .

Перейдем к рассмотрению поляризации фосфоресценции. Для комплексов ОЭХ и ТГОЭПС с цинком и палладием осциллятор фосфоресценции является линейным и ориентирован по оси  $Y$ . Это означает, что нижнее триплетное состояние  $T_1$  эффективно смешивается только с синглетными состояниями симметрии  $A_1$ , переходы в которые из основного состояния поляризованы по  $Y$ .

Из правила отбора для спин-орбитального взаимодействия

$$\Gamma_{\Phi_i} \times \Gamma_{R_x, R_y, R_z} \times \Gamma_{\Phi_j} = \Gamma_1,$$

где  $\Phi_i$  и  $\Phi_j$  — координатные волновые функции синглетного состояния  $S_i$  и триплетного состояния  $T_j$ ,  $\Gamma_1$  — полносимметричное неприводимое представление,  $R$  обозначает оператор вращения [13], следует, что смешение с состояниями  ${}^1A_1$  разрешено только для триплетных  $\pi\pi^*$ -состояний, координатная волновая функция которых имеет симметрию  $B_1$ . Таким образом, полученные экспериментальные данные позволяют установить симметрию нижнего триплетного состояния молекул металлохлоринов и металло-изобактериохлоринов ( ${}^3B_1$ ). Можно полагать, что гидрирование пиррольного кольца понижает вместе с уровнем  ${}^1Q_x$  и уровень  ${}^3Q_x$ , т. е., по-видимому, имеется некоторое родство  $S_1$ - и  $T_1$ -состояний.

Отрицательная поляризация фосфоресценции была получена для ряда палладиевых комплексов асимметричных порфиринов: азапорфиринов [14, 15], филлореитрина [16], родопорфирина [6].

Осциллятор фосфоресценции Zn-родопорфирина является трехмерным [6], что было объяснено низкой симметрией молекулы (в случае Pd-родопорфирина внутренний эффект тяжелого атома палладия настолько силен, что играет роль только симметрия центра  $C_{2v}$ ). В противоположность Zn-родопорфирину цинковые комплексы ОЭХ и ТГОЭПС не отличаются от палладиевых по поляризации фосфоресценции. Это объясняется достаточно высокой симметрией сопряженной системы.

Можно показать также, что из трех подуровней триплетного состояния  $T_1$  исследованных комплексов с Zn и Pd только один дезактивируется с испусканием квантов света. Спиновые волновые функции подуровней триплетного состояния обозначают обычно  $\tau_x$ ,  $\tau_y$ ,  $\tau_z$  (в состоянии  $\tau_x$ , например, вектор спинового момента перпендикулярен оси  $X$  и говорят, что он поляризован в плоскости  $YZ$ ). В случае симметрии  $C_{2v}$   $\tau_x$  принадлежит к типу симметрии  $B_2$ ,  $\tau_y$  —  $A_2$ ,  $\tau_z$  —  $B_1$  [17]. Следовательно, симметрия полной волновой функции подуровня  $\tau_x$  состояния  $T_1$  будет  $B_1 \times B_2 = A_2$ , для подуровня  $\tau_y$  —  $B_1 \times A_2 = B_2$ , для подуровня  $\tau_z$  —  $B_1 \times B_1 = A_1$ . Синглетные состояния имеют одинаковую симметрию полной и координатной волновых функций и поэтому состояние  $\tau_z$  ( $T_1$ ) может смешиваться с синглетными состояниями симметрии  $A_1$ , что дает  $Y$ -компоненту осциллятора фосфоресценции, состояние  $\tau_y$  может смешиваться с синглетными состояниями симметрии  $B_2$ , давая  $Z$ -компоненту осциллятора фосфоресценции перпендикулярно к плоскости молекулы, а состояние  $\tau_x$  — с состояниями  ${}^1A_2$ , что не дает вклада в момент перехода.

Из экспериментальных данных следует, что для исследованных металлокомплексов  $Z$ -компоненты О—О-перехода очень слабы и, поскольку интенсивность вибронных переходов  $T_1 \rightarrow S_0$  мала, можно заключить, что фосфоресценция обусловлена переходом с уровня  $\tau_z$ .

В случае Mg-ОЭХ фундаментальная поляризация фосфоресценции, хотя и близка к  $-1/3$ , однако отличается от теоретического значения на заметную величину. Это позволяет сделать вывод о наличии у осциллятора

фосфоресценции наряду с  $Y$ -компонентой также и  $X$ -компоненты (в плоскости молекулы). Поскольку для  $\pi\pi^*$ -состояний молекулы симметрии  $C_{2v}$  это невозможно в силу правила отбора для спин-орбитального взаимодействия, мы полагаем, что объяснение следует искать в низкой симметрии молекулы Mg-OЭХ. Имеются две причины асимметрии этой молекулы: 1) наличие гидрированного пиррольного кольца, в котором атомы углерода в  $\beta$ -положениях образуют две связи вне плоскости молекулы: с атомом водорода и этильной группой, что понижает симметрию молекулы металлохлорина до  $C_2$  при транс-расположении H и  $C_2H_5$ ; 2) дополнительное комплексообразование атома магния с молекулами растворителя. Для выяснения роли этих факторов в деполяризации фосфоресценции Mg-OЭХ потребуются дополнительные экспериментальные исследования. Вообще говоря, асимметрия пиррольного кольца имеется у всех исследованных металлохлоринов. Однако при сильном внутреннем эффекте тяжелого атома (комплексы с Zn и Pd) существенно только более или менее близкое окружение атома металла.

Анализ поляризационного спектра фосфоресценции Mg-OЭХ показывает слабость  $Z$ -компоненты осциллятора фосфоресценции. В противоположность этому у свободных оснований октаэтилпорфина и октаэтилхлорина при примерно такой же вероятности излучательного перехода  $T_1 \rightarrow S_0$  наблюдается заметная неплоская компонента фосфоресценции [1], что было объяснено примешиванием  $^1(n, \pi^*)$ -состояний. Отсутствие неплоской компоненты у Mg-OЭХ дает косвенное подтверждение этого вывода.

Положительная поляризация фосфоресценции Cu-OЭХ объясняется точно так же, как и в случае Cu-родопорфирина [6]. В этом случае фосфоресцентным состоянием является «триплублетное», которое смешивается с «синглублетными» состояниями не спин-орбитальным, а электростатическим взаимодействием. При этом разрешено смешение состояний с одинаковой симметрией координатной волновой функции. Примесь состояний симметрии  $B_1$  дает  $X$ -компоненту момента перехода и высокую положительную фундаментальную поляризацию фосфоресценции.

#### Литература

- [1] K. N. Solov'yev, A. T. Gradyshko, M. P. Tsvirko, V. N. Купштко. J. Luminesc., 14, 365, 1976.
- [2] Г. П. Гуринович, А. Н. Севченко, К. Н. Соловьев. Спектроскопия хлорофилла и родственных соединений. «Наука и техника», Минск, 1968.
- [3] U. Eisner. J. Chem. Soc., 3461, 1957.
- [4] A. D. Adler, F. R. Longo, F. Kampas, I. Kin. J. Inorg. Nucl. Chem., 32, 2443, 1970.
- [5] I. B. Callis, M. Gouterman, Y. M. Jones, M. H. Henderson. J. Mol. Spectr., 39, 410, 1972.
- [6] А. Т. Градышко, К. Н. Соловьев, М. П. Цвирко. Опт. и спектр., 41, 57, 1976.
- [7] J. R. Platt. In: Radiation Biology. Vol. III, 71, N. Y., 1956.
- [8] M. Gouterman. J. Chem. Phys., 30, 1139, 1959.
- [9] А. Н. Севченко, К. Н. Соловьев, В. А. Машенков, С. Ф. Шкирман, А. П. Лосев. ДАН СССР, 175, 797, 1967.
- [10] J. V. Кпор, H. Stichteroth. Z. Naturforsch., 27a, 639, 1972.
- [11] C. Weiss, J. Kobayashi, M. Gouterman. J. Mol. Spectrosc., 16, 415, 1965.
- [12] C. Weiss. J. Mol. Spectrosc., 44, 37, 1972.
- [13] С. Мак-Глини, Т. Адауми, М. Киносита. Молекулярная спектроскопия триплетного состояния. «Мир», М., 1972.
- [14] К. Н. Соловьев, В. А. Машенков, Т. Ф. Качура. Опт. и спектр., 27, 56, 1969.
- [15] В. А. Машенков, К. Н. Соловьев, А. Е. Туркова, Н. А. Юшкевич. Ж. прикл. спектр., 21, 73, 1974.
- [16] Г. Д. Егорова, В. А. Машенков, К. Н. Соловьев, Н. А. Юшкевич. Биофизика, 18, 40, 1973.
- [17] J. H. Van der Waals, M. S. de Groot. In: The Triplet State, 101. Cambridge, 1967.

Поступило в Редакцию 16 марта 1977 г.